

แผนบริหารการสอนประจำบทที่ 2 กลไกของกระบวนการปฏุม

เนื้อหาประจำบท

1. กฎของอาร์เรเนียส
2. พลังงานกระตุ้น (Activation Energy)
3. Potential-energy Surfaces
4. ทฤษฎีการเข้าชนกัน (The collision theory)
5. ทฤษฎีสารเชิงซ้อนกัมมันต์ หรือทฤษฎีสถานะแทรนซิชัน หรือทฤษฎีอัตราสัมบูรณ์

วัตถุประสงค์เชิงพฤติกรรม

เมื่อศึกษาจบบทนี้แล้ว นักศึกษาสามารถ

1. อธิบายความหมายทฤษฎีต่างๆ ที่เกี่ยวข้องกับอัตราการเกิดปฏิกิริยาเคมี
2. มีความเข้าใจและสามารถคำนวณทฤษฎีต่างๆ ที่เกี่ยวข้องกับอัตราการเกิดปฏิกิริยาเคมีได้
3. แปลความหมายจากกราฟหรือแผนภาพของทฤษฎีต่างๆ และปฏิกิริยาเคมีได้
4. อธิบายกลไกปฏิกิริยาและเขียนสมการแสดงกลไกปฏิกิริยาได้

วิธีสอนและกิจกรรมการเรียนการสอน

1. กำหนดหัวข้อให้นักศึกษาค้นคว้าล่วงหน้าจากเอกสารประกอบการสอน และต้นคว้าเพิ่มเติมจากหนังสือ สื่อ และเอกสารอื่นๆ เพื่อนำมาอภิปราย และสรุปในเวลาที่กำหนด
2. ให้นักศึกษาร่วมอภิปรายในประเด็นที่ผู้สอนสมมติเรื่องทฤษฎีต่างๆ ได้
3. ให้ทำกิจกรรมแปลความหมายจากกราฟและแผนภาพที่กำหนดให้ได้
4. ให้นักศึกษาอธิบายกลไกปฏิกิริยาและเขียนสมการแสดงกลไกปฏิกิริยา
5. อาจารย์บรรยายสรุปประเด็นเพิ่มเติม

สื่อการเรียนการสอน

1. เอกสารประกอบการสอน วิชาเคมีเชิงฟิสิกส์ 2
2. สื่อเพาเวอร์พอยต์ สำหรับเนื้อหาประจำบท
3. สื่อวีดิทัศน์เนื้อหาที่เกี่ยวข้องกับบทเรียน
4. แบบทดสอบ
5. ตำราและเอกสารเสริมประจำบทเรียน
6. ข้อสอบ

การวัดผลและการประเมินผล

1. สืบเนื่องจากการอภิปรายของนักศึกษา และการมีส่วนร่วมในการเสนอความเห็นในระหว่างการเรียนรู้
2. สืบเนื่องจากความถูกต้องในการตอบปัญหาในระหว่างเรียน
3. สืบเนื่องจากความถูกต้องของกิจกรรมประจำบท
4. ตรวจสอบความถูกต้องจากการทำแบบฝึกหัดประจำบท
5. โดยการทดสอบย่อย

บทที่ 2

กลไกของกระบวนการปฏิกิริยา

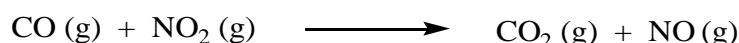
(The Mechanisms of Processes)

จากการศึกษาจากบทที่ 1 พบว่ากระบวนการเกิดปฏิกิริยาเคมี จากสารตั้งต้นไปเป็นสารผลิตภัณฑ์นั้น อาจจะมีขั้นตอนในการเกิดปฏิกิริยาขั้นตอนเดียวหรือหลายขั้น ซึ่งในแต่ละขั้นตอนย่อยๆ นั้น เราเรียกว่า (elementary processes) บทนี้จึงศึกษารายละเอียดของลักษณะและกลไกของกระบวนการปฏิกิริยาที่เกิดขึ้น รวมทั้งจะได้ศึกษาทฤษฎีต่างๆ ที่เกี่ยวข้องกับกลไกของปฏิกิริยาไปพร้อมกันด้วย

2.1 กฎของอาร์เรเนียส

ในการศึกษาผลของอุณหภูมิที่มีต่ออัตราการเกิดปฏิกิริยา ส่วนใหญ่พบว่าอัตราการเกิดปฏิกิริยาจะสูงขึ้นถ้าอุณหภูมิเพิ่มขึ้น และนั่นก็หมายความว่า ค่าคงที่อัตราจะสูงขึ้นด้วย ตัวอย่างเช่น ปฏิกิริยาระหว่าง CO กับ NO₂ พบว่าการเพิ่มอุณหภูมิจะทำให้ค่าคงที่อัตราเพิ่มสูงตามไปด้วย

ตารางที่ 2.1 ผลของอุณหภูมิที่มีต่อค่าคงที่อัตรา



อุณหภูมิ (K)	ค่าคงที่อัตรา (mol·dm ⁻³ ·sec ⁻¹)
600	0.028
650	0.22
700	1.3
750	6.0
800	23.0

ที่มา: ดัดแปลงจาก ปรีชา พหลเทพ, 2547: 49.

สำหรับปฏิกิริยาในสารละลายพบว่าส่วนใหญ่ ถ้าเพิ่มอุณหภูมิสูงขึ้นประมาณ 10 °C จะทำให้อัตราการเกิดปฏิกิริยาเพิ่มขึ้นสองเท่า ผู้ที่พบความสัมพันธ์ระหว่างค่าคงที่อัตรากับอุณหภูมิคนแรกคือ ฮูด (Hood) เขียนความสัมพันธ์ได้เป็นสมการ

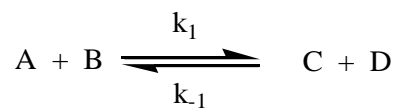
$$\log k = B - \frac{A'}{T} \quad (2.1)$$

โดยที่ A' และ B เป็นค่าคงที่ T เป็นอุณหภูมิสัมบูรณ์ และ k เป็นค่าคงที่อัตรา จะเห็นว่าค่าคงที่อัตราจะแปรผันตามอุณหภูมิสัมบูรณ์

ในปี คศ. 1884 วานท์ฮอฟฟ์ (Van't Hoff) ได้ศึกษาผลของอุณหภูมิสัมบูรณ์ ที่มีต่อค่าคงที่ สมดุล และผลอันนี้ได้แพร่หลายโดยอาร์เรเนียสนำไปประยุกต์ใช้กับปฏิกิริยาต่างๆ เขียน ความสัมพันธ์ได้เป็น

$$\frac{d \ln K_c}{dt} = \frac{\Delta E}{RT^2} \quad (2.2)$$

โดยที่ K_c เท่ากับค่าคงที่สมดุลในเทอมของความเข้มข้น และ ΔE เป็นพลังงานที่เปลี่ยนไป (The energy change) ถ้าเราพิจารณาสถานะที่สมดุลพลวัต (dynamic) ในปฏิกิริยา



ปฏิกิริยานี้อยู่ในสภาวะสมดุล k_1 และ k_{-1} เป็นค่าคงที่อัตราไปข้างหน้าและย้อนกลับ ตามลำดับ เพราะฉะนั้นที่สภาวะสมดุลจะได้อัตราการเกิดปฏิกิริยาไปข้างหน้าเท่ากับอัตราการเกิด ย้อนกลับนั่นคือ

$$k_1[A][B] = k_{-1}[C][D] \quad (2.3)$$

และค่าคงที่สมดุล

$$K_c = \frac{k_1}{k_{-1}}$$

เพราะฉะนั้นจากสมการ (2.3) จะได้

$$\frac{[C][D]}{[A][B]} = \frac{k_1}{k_{-1}} = K_c \quad (2.4)$$

สมการ (2.2) จะกลายเป็น

$$\frac{d \ln k_1}{dT} = \frac{d \ln k_{-1}}{dT} = \frac{\Delta E}{RT^2} \quad (2.5)$$

ซึ่งอาจแยกเป็น 2 สมการ คือ

$$\frac{d \ln k_1}{dT} = \frac{E_1}{RT^2} + I \quad (2.6)$$

และ

$$\frac{d \ln k_{-1}}{dT} = \frac{E_{-1}}{RT^2} + I \quad (2.7)$$

โดยที่ E_1 และ $E_{-1} = \Delta E$ และจากผลการทดลองพบว่า I เป็นศูนย์ ดังนั้นค่าคงที่อัตราจะ สัมพันธ์กับอุณหภูมิสัมบูรณ์ในลักษณะ

$$\frac{d \ln k}{dT} = \frac{E}{RT^2} \quad (2.8)$$

E เป็นค่าพลังงาน ซึ่งจะศึกษารายละเอียดต่อไปว่าเป็น พลังงานที่อย่างน้อยปฏิกิริยาจะต้องมี

จึงเกิดปฏิกิริยาได้เราเรียกว่า **พลังงานกระตุ้น** (activation energy) นั่นเอง เพราะฉะนั้นเราจะใช้ E_a แทน E สมการ (2.8) เราเรียกสมการของอาร์เรเนียสหรือกฎของอาร์เรเนียส พิจารณาสมการ (2.2) กับ (2.8) จะคล้ายกัน ต่างกันเพียงเทอมของค่าคงที่สมมูลกับค่าคงที่อัตราสมการ (2.8) ถ้าอินทิเกรตแล้วจะได้

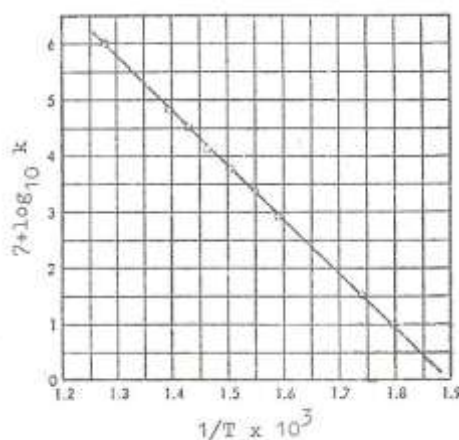
$$\ln k = -\frac{E_a}{RT} + \text{ค่าคงที่} \quad (2.9)$$

ค่า E_a จะไม่ขึ้นกับอุณหภูมิ ถ้าให้ค่าคงที่เท่ากับ $\ln A$ สมการ (2.9) จะเขียนใหม่ได้เป็น

$$k = A \exp\left(\frac{-E_a}{RT}\right) \quad (2.10)$$

ค่า A เรียกว่า **แฟกเตอร์แห่งความถี่** (frequency factor หรือ pre-exponential) และ A นี้จะมีหน่วยเช่นเดียวกับหน่วยของค่า k ส่วน E_a เป็นพลังงานกระตุ้นมีหน่วย $\text{J}\cdot\text{mol}^{-1}$ R คือค่าคงที่ของแก๊สมีค่า $8.3143 \text{ J}\cdot\text{mol}^{-1}\cdot\text{K}^{-1}$ และ T คืออุณหภูมิสัมบูรณ์ กฎของอาร์เรเนียส ทดสอบได้โดยการเขียนกราฟระหว่าง $\log k$ กับ $1/T$ ในสมการ (2.9) จะได้กราฟเส้นตรงมีความชันเป็น

$$-\frac{E_a}{2.303R} = -\frac{E_a}{4.57} \quad \text{ตามรูปที่ 2.1 ซึ่งทำให้สามารถคำนวณหาค่า } E_a \text{ ได้ด้วย}$$



รูปที่ 2.1 กราฟแสดงความสัมพันธ์ระหว่าง $\log k$ กับ $1/T$ ในปฏิกิริยาการสลายตัวของ

ไฮโดรเจนไอโอไดต์ ได้ค่าความชันเท่ากับ $-\frac{E_a}{2.303R}$ และคำนวณหาค่า E_a

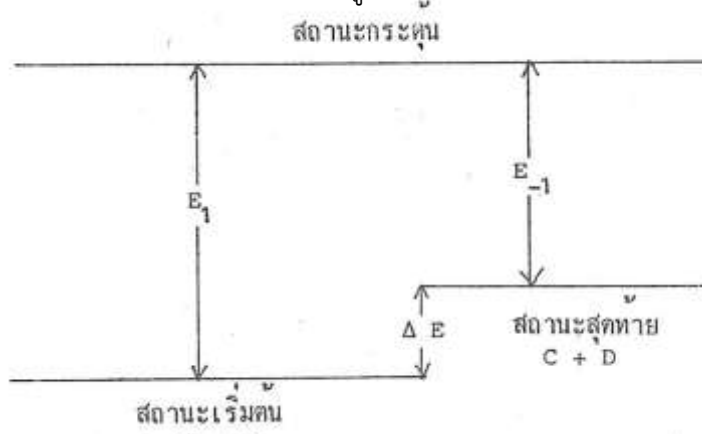
เท่ากับ 44.0 กิโลแคลอรี

ที่มา: ดัดแปลงจาก ปรีชา พหลเทพ, 2547: 52.

2.2 พลังงานกระตุ้น

(Activation Energy)

พิจารณาสมการ (2.6) และ (2.7) ค่า I ซึ่งเป็นค่าคงที่ของการอินทิเกรตนั้นปกติแล้วจะเป็นศูนย์ แต่หากไม่เป็นศูนย์แสดงว่าอัตราการเกิดปฏิกิริยาไปข้างหน้าและย้อนกลับ ซึ่งขึ้นอยู่กับอุณหภูมิจะต้องมีผลกระทบจากปัจจัยอื่นๆ บางอย่างอีกด้วย ในกรณีที่ค่า I เป็นศูนย์ เราสามารถสรุปได้ว่าปฏิกิริยาจาก $A + B$ ไปเป็น $C + D$ สามารถแยกออกเป็น 2 ส่วน โดยที่อัตราการเกิดปฏิกิริยาไปข้างหน้าจะขึ้นกับ E_1 และอัตราการเกิดปฏิกิริยาย้อนกลับจะขึ้นกับ E_{-1} และในระหว่างสถานะเริ่มต้นกับสถานะกระตุ้น (Activated state) พิจารณารูปที่ 2.2



รูปที่ 2.2 แผนภาพแสดงความสัมพันธ์ระหว่างพลังงานในสถานะเริ่มต้น, สถานะสุดท้าย และสถานะกระตุ้น

ที่มา: ดัดแปลงจาก ปรีชา พหลเทพ, 2547: 53.

พลังงาน E_1 เป็นพลังงานที่ต้องใช้ในกรณีที่ปฏิกิริยาระหว่าง $A + B$ จะผ่านสถานะเริ่มต้นไปเป็นสถานะกระตุ้น AB^\ddagger ซึ่งเราเรียกว่าพลังงานกระตุ้น (activation energy) และที่สถานะอินเทอร์มีเดียตนั้น จะอยู่ในสภาวะสมดุลกับสารตั้งต้น เราเรียกแอคติเวเตดคอมเพลกซ์ (activated complex) เครื่องหมาย \ddagger จะใช้แทนสถานะกระตุ้น ดังนั้นพลังงานกระตุ้นจะเป็นตัวชี้ว่าสาร A และ B จะเกิดปฏิกิริยาไปเป็น C กับ D ได้ ต้องใช้พลังงานอย่างน้อยเท่ากับพลังงานกระตุ้น E_1 และ E_{-1} เป็นพลังงานกระตุ้นที่ปฏิกิริยาจาก $C + D$ ต้องการให้การเกิดย้อนกลับผ่านแอคติเวเตดคอมเพลกซ์แล้วไปเป็น $A + B$

ในปฏิกิริยาที่เกี่ยวข้องกับโมเลกุลตั้งแต่ 2 ตัวขึ้นไป ก่อนเกิดปฏิกิริยาจะต้องมีการชนกัน แต่การชนกันทุกครั้งไม่ได้หมายความว่าเกิดปฏิกิริยาทุกครั้งไป แต่ต้องชนในทิศทางที่พอเหมาะ และต้องมีพลังงานเพียงพอคือต้องมากกว่าหรือเท่ากับพลังงานกระตุ้นจึงจะเกิดปฏิกิริยาได้ เพราะฉะนั้นโดยนัยนี้ เราอาจพิจารณาว่าพลังงานกระตุ้นเป็นเสมือนกำแพงพลังงานที่ขวางกั้น การเกิดปฏิกิริยาเรียกว่าเป็น potential energy barrier คือถ้าโมเลกุลใดมีพลังงานสูงเพียงพอที่จะก้าวผ่านยอดของกำแพง (top of the barrier) ไปเป็นแอคติเวเตดคอมเพลกซ์ และเลยไปเป็นผลผลิตได้ ถ้าปฏิกิริยาใดมีพลังงานกระตุ้นต่ำก็เปรียบเสมือนมีกำแพงต่ำ ปฏิกิริยาที่เกิดได้เร็ว

เพราะฉะนั้นเราอาจพิจารณาว่าค่าคงที่อัตราของปฏิกิริยาใดๆ จะขึ้นกับปัจจัย 2 อย่าง คือ

- 1) ความถี่ของการชนกันระหว่างโมเลกุลของสารตั้งต้น
- 2) ค่าของพลังงานกระตุ้น

จากสมการของอาร์เรเนียส (2.10)

$$k = A \cdot e^{-E_a/RT}$$

ค่า A ซึ่งเป็นค่าแฟกเตอร์ของความถี่ จะแปรผันตามค่า k โดยตรง และสัมพันธ์กับความถี่ของการชนกันระหว่างโมเลกุลของสารตั้งต้นเสมอ การคำนวณหาค่าพลังงานกระตุ้นก็ทำได้ถ้าเราทราบค่า k ที่อุณหภูมิต่างๆ แล้วนำไปเขียนกราฟระหว่าง $\log k$ กับ $1/T$ ในสมการ (2.9) ซึ่งได้กล่าวถึงไปแล้วในหัวข้อ 2.1 และจากกราฟยังสามารถหาค่า A ได้

ในกรณีที่ค่าคงที่อัตรา k_1 และ k_2 วัดได้ที่อุณหภูมิ T_1 และ T_2 ตามลำดับ พลังงานกระตุ้นอาจจะคำนวณได้โดยพิจารณาจากสมการ (2.8)

$$\frac{d \ln k}{dT} = \frac{E_a}{RT^2}$$

เราอินทิเกรต

$$\int_{k_1}^{k_2} d \ln k = \frac{E_a}{R} \int_{T_1}^{T_2} \frac{dT}{T^2}$$

$$[\ln k]_{k_1}^{k_2} = -\frac{E_a}{R} \left[\frac{1}{T} \right]_{T_1}^{T_2}$$

จะได้

$$\ln k \frac{k_2}{k_1} = \frac{E_a}{R} \left[\frac{1}{T_2} - \frac{1}{T_1} \right]$$

หรือ

$$\ln k \frac{k_2}{k_1} = \frac{E_a}{2.303R} \left[\frac{1}{T_2} - \frac{1}{T_1} \right]$$

$$\ln k \frac{k_2}{k_1} = \frac{E_a}{2.303R} \left[\frac{T_2 - T_1}{T_1 T_2} \right] \quad (2.11)$$

เราสามารถคำนวณหาพลังงานกระตุ้นจากสมการ (2.11) ได้

ตัวอย่างที่ 2.1 ปฏิกิริยาระหว่างแก๊ส NH_3 กับ NO_2 เป็นปฏิกิริยาอันดับสอง ถ้ากำหนดค่าคงที่อัตราให้เท่ากับ $0.385 \text{ dm}^3 \cdot \text{mol}^{-1} \cdot \text{sec}^{-1}$ ที่ 600 K และเท่ากับ $16.0 \text{ dm}^3 \cdot \text{mol}^{-1} \cdot \text{sec}^{-1}$ ที่ 716 K จงคำนวณหาพลังงานกระตุ้นและค่าแฟคเตอร์แห่งความถี่

วิธีทำ จากสมการ 2.11 แทนค่าจะได้

$$\log \frac{16.0}{0.385} = \frac{E_a}{2.303 \times 8.314} \left[\frac{716 - 600}{716 \times 600} \right]$$

จะได้
$$E_a = \log \frac{1.619 \times 2.303 \times 8.314 \times 716 \times 600}{116} \text{ J} \cdot \text{mol}^{-1}$$

$$E_a = \frac{1.619 \times 2.303 \times 8.314 \times 716 \times 600}{116} \text{ J} \cdot \text{mol}^{-1}$$

$$= 114.8 \text{ kJ} \cdot \text{mol}^{-1}$$

ใช้ค่า k_2 ที่ 716 K แทนค่าในสมการ (2.10) จะได้

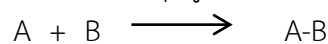
$$\ln 16.0 \text{ dm}^3 \cdot \text{mol}^{-1} \cdot \text{s}^{-1} = \ln A - \frac{114800}{8.314 \times 716}$$

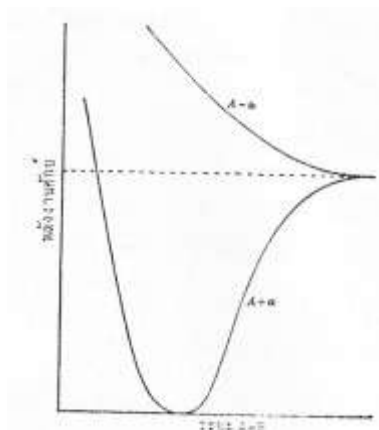
$$A = 3.8 \times 10^9 \text{ dm}^3 \cdot \text{mol}^{-1} \cdot \text{s}^{-1}$$

2.3 พลังงานศักย์ของพื้นผิว

(Potential-energy Surfaces)

การศึกษาพลังงานกระตุ้นของปฏิกิริยาเคมี เราจะใช้วิธีการพิจารณา potential energy surfaces ซึ่งวิธีการนี้เรากระทำโดยการเขียนกราฟระหว่างพลังงานกับระยะห่างระหว่างอะตอม (interatomic distance) ในแอกติเวเตด คอมเพล็กซ์ ถ้าในปฏิกิริยามีเพียงสองอะตอม กราฟระหว่างพลังงานศักย์ (potential energy) กับระยะห่างระหว่างอะตอม จะเป็นสองมิติ และกราฟที่ได้ก็จะเป็น potential energy curve ของอะตอมโมเลกุลคู่ (diatomic molecule) ตามรูปที่ 2.3





รูปที่ 2.3 potential energy curve ของอะตอมโมเลกุลคู่ A-B

ที่มา: ดัดแปลงจาก ปรีชา พหลเทพ, 2547: 56.

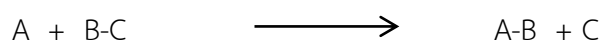
การศึกษา potential energy surfaces ที่ง่ายที่สุดคือการศึกษาในโมเลกุลไฮโดรเจนเฮทเทอร์ (Heitler) กับ ลอนดอน (London) เป็นสองคนแรกที่ศึกษาโดยใช้กลศาสตร์ควอนตัมคำนวณหาค่าพลังงาน และพบว่าในโมเลกุลไฮโดรเจนจะมีสองระดับพลังงานที่เกี่ยวข้อง คือผลบวกและผลต่างของพลังงานสองชนิด ซึ่งเขียนสมการได้เป็น

$$E = A \pm \alpha \quad (2.12)$$

โดยที่ A เป็น cumbic energy ซึ่งเกิดจากแรงกระทำทางไฟฟ้า (electrostatic interaction) ระหว่างโปรตอนและอิเล็กตรอน ส่วน α เป็นค่า exchange energy ที่เกิดจากการที่อิเล็กตรอนเคลื่อนที่ไปรอบๆ (delocalized) นิวเคลียสอยู่เสมอ ปกติแล้วค่า A และ α จะเป็นลบ

ทั้งค่า A และ α จะเป็นฟังก์ชันกับระยะห่างระหว่างนิวเคลียส กรณีที่อะตอมแยกกันอยู่ค่า E จะเป็นศูนย์ และเมื่ออะตอมเคลื่อนที่เข้าหากันจะเกิดแรงผลึก (repulsion force) ค่า E จะเป็นบวก มีค่าเท่ากับ $A - \alpha$ กรณีเป็นกรณีที่ไม่เสถียร พิจารณาจากรูป (2.3) จะเห็นได้ว่า ถ้าระยะ A-B ยิ่งใกล้กันค่า E จะสูงมากขึ้นเรื่อยๆ ในกรณีที่เป็นโมเลกุลอะตอมคู่ที่เสถียร ค่า E จะเป็น $A + \alpha$ สังเกตจากรูปที่ 2.3 เช่นกัน จะพบว่าในระยะแรกที่อะตอมค่อยๆ เคลื่อนที่เข้าใกล้กัน คือระยะ A-B ค่อยๆ ลดลง ค่า E จะลดลงเรื่อยๆ จนถึงจุดหนึ่งค่า E จะต่ำสุดที่จุดนั้นเป็นจุดที่ระยะห่าง A-B เสถียรมากที่สุด หลังจากนั้นถ้าสองอะตอมยังเคลื่อนที่เข้าหากันต่อไปอีก ค่า E จะเพิ่มขึ้นคือเสถียรน้อยลงจนในที่สุด มีค่าเป็นบวก แสดงว่าโมเลกุลนั้นไม่เสถียรอีกต่อไป

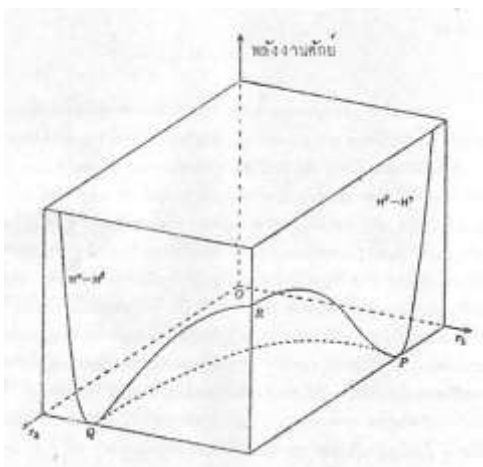
ในกรณีที่มีอะตอมมากกว่า 2 ขึ้นไป เป็น polyatomic molecule พิจารณาในกรณีมี 3 อะตอม



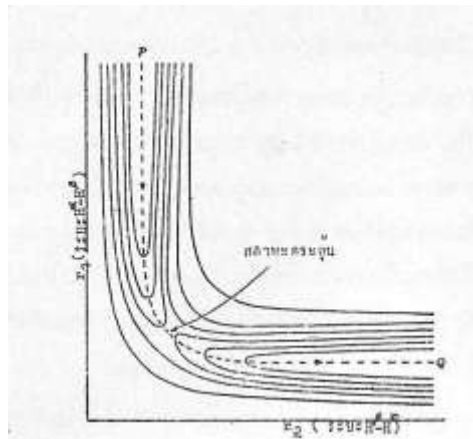
การจะสร้าง potential energy surfaces โดยการเขียนกราฟระหว่างพลังงานกับระยะห่างระหว่างอะตอม ซึ่งอาจจะมีระยะ A-B, B-C และ A-C หรืออาจจะเป็นระยะ A-B, B-C และมุมระหว่างพันธะ $\hat{A}-B-C$ ซึ่งมีลักษณะเป็น 4 มิติ แต่ถ้าคิดว่า แอคติเวเตดคอมเพลกซ์เป็น $A \cdots B \cdots C$ ระยะ A-C ก็ตัดทิ้งไปได้ เพราะฉะนั้นคิดแค่ระยะ A-B, B-C และมุม $\hat{A}-B-C$

เพื่อที่จะให้ง่ายขึ้นจะกำหนดให้มุม $A-B-C$ เป็น 180° เพื่อจะได้เป็นเส้นตรง (linear) สามารถเขียนรูป 3 มิติได้ โดยมีระยะ $A-B$ และ $B-C$ มาเกี่ยวข้องเท่านั้น ลอนดอน (London) เป็นผู้ que ศึกษาเรื่องนี้ในปฏิกิริยาระหว่างอะตอมของไฮโดรเจนและโมเลกุลของไฮโดรเจน ซึ่งพบว่าปฏิกิริยานี้มีพลังงานกระตุ้น $8.8 \text{ k cal}\cdot\text{mol}^{-1}$ และระดับพลังงานของสารตั้งต้นกับผลิตภัณฑ์ค่าเท่ากัน ถ้าเราให้อะตอมไฮโดรเจนเป็น H^α และโมเลกุลของไฮโดรเจนเป็น $H^\beta-H^\gamma$ ระหว่างที่เกิดปฏิกิริยาพลังงานจะเพิ่มขึ้นเรื่อยๆ และจะเพิ่มขึ้นเรื่อยๆ จะเพิ่มมากที่สุดเมื่อระยะห่าง $H^\alpha \cdots H^\beta$ เท่ากับระยะห่างระหว่าง $H^\beta \cdots H^\gamma$ ขณะนี้จะเกิดแอกติเวเตดคอมเพลกซ์ $H^\alpha \cdots H^\beta \cdots H^\gamma$ หลังจากนั้นพลังงานจะเริ่มลดลงจนต่ำสุดเมื่ออะตอม H^γ จะแยกออกไปได้โมเลกุลใหม่เป็น $H^\alpha \cdots H^\beta$ พิจารณาตามรูป (2.4) ระยะห่าง $H^\alpha \cdots H^\beta$ ใช้แทนด้วย r_1 ระยะห่าง $H^\beta \cdots H^\gamma$ แทนด้วย r_2 ด้านซ้ายมือเป็นแผนภาพพลังงานของโมเลกุลอะตอมคู่ $H^\alpha \cdots H^\beta$ ด้านขวามือเป็นแผนภาพพลังงานของโมเลกุลอะตอมคู่ $H^\beta \cdots H^\gamma$

จะสังเกตเห็นให้เห็นได้ว่าปฏิกิริยาจะเกิดเมื่อมีการเปลี่ยนแปลงบน potential energy surface จากจุด P ไปยังจุด Q ผ่านจุด R ซึ่งเป็นจุดที่มีพลังงานสูงสุด เกิดแอกติเวเตดคอมเพลกซ์ $H^\alpha \cdots H^\beta \cdots H^\gamma$ ซึ่งมีระยะห่างระหว่างพันธะเท่ากันจากจุด P ไปจุด R ระยะ $H^\beta \cdots H^\gamma$ จะยาวขึ้นเรื่อยๆ จนถึงจุด R ระยะ $H^\alpha \cdots H^\beta$ เท่ากับระยะ $H^\beta \cdots H^\gamma$ พอผ่านจุด R ไปทางซ้ายระยะ $H^\alpha \cdots H^\beta$ จะสั้นลงจนเสถียรเมื่อถึงจุด Q ได้ผลผลิตเป็นโมเลกุล $H^\alpha \cdots H^\beta$ ส่วนอะตอม H^γ จะหลุดออกไป ซึ่งรูปที่ 2.4 ได้แสดงให้เห็นชัดเจนขึ้นในลักษณะ contour diagram ตามรูปที่ 2.5 โดยมองจากด้านบนของกล่องสี่เหลี่ยม เส้นประ (dashed line) จะชี้ให้เห็นถึงการดำเนินไปของปฏิกิริยา (reaction pathway) จากจุด P ไปยังจุด Q ผ่านจุด R ที่เรียกว่าสถานะกระตุ้น มีพลังงานสูงสุด และความสูงของจุด R นี้เองเป็นตัวกำหนดพลังงานกระตุ้นเพราะฉะนั้นจากจุด P ผ่านจุด R ไปจุด Q เราสามารถนำไปเขียนกราฟระหว่างพลังงานกับ reaction coordinate เพื่อแสดงให้เห็นกำแพงพลังงาน (energy barrier) คือความสูงของจุด R ได้ตามรูปที่ 2.6

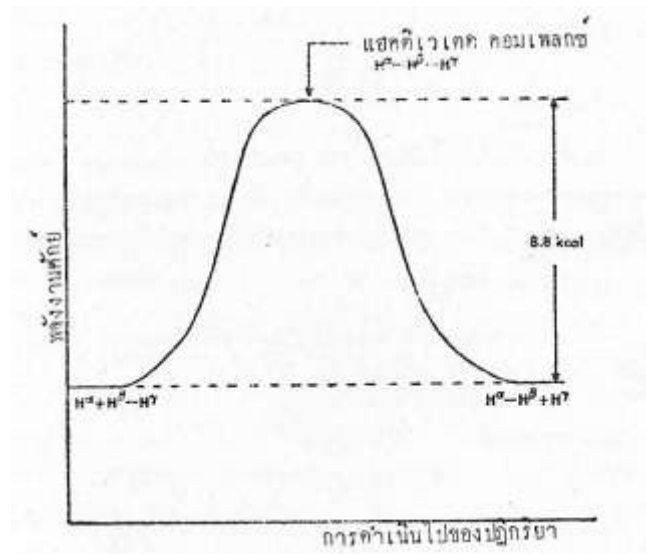


รูปที่ 2.4 แผนภาพพลังงานศักย์สำหรับโมเลกุล $H^\alpha \cdots H^\beta \cdots H^\gamma$ ซึ่งเป็นเส้นตรง
ที่มา: ดัดแปลงจาก ปรีชา พหลเทพ, 2547: 58.



รูปที่ 2.5 potential energy contour diagram สำหรับ linear triatomic molecule
 $H^\alpha \cdots H^\beta \cdots H^\gamma$

ที่มา: ดัดแปลงจาก ปรีชา พหลเทพ, 2547: 59.



รูปที่ 2.6 กำแพงพลังงาน (energy barrier) สำหรับปฏิกิริยาระหว่างอะตอมไฮโดรเจนกับโมเลกุลไฮโดรเจน

ที่มา: ดัดแปลงจาก ปรีชา พหลเทพ, 2547: 59.

ทฤษฎีอัตราของปฏิกิริยา

ถึงแม้ว่า อัตราของปฏิกิริยาจะได้มาจากการทดลอง เรายังต้องอาศัยทฤษฎีเพื่ออธิบายการเกิดปฏิกิริยาและเพื่อเข้าใจกลไกต่างๆ ของปฏิกิริยาด้วยทฤษฎีพื้นฐานสำหรับอัตราของปฏิกิริยามี 2 ทฤษฎีคือ

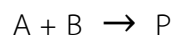
1. ทฤษฎีการเข้าชนกัน (The Collision theory) เน้นว่าการเกิดปฏิกิริยาเนื่องจากการเข้าชนกันของโมเลกุลที่มีพลังงานสูง และอัตราปฏิกิริยาจะขึ้นอยู่กับความถี่ของการเข้าชนกัน

2. ทฤษฎีสารเชิงซ้อนกัมมันต์ หรือทฤษฎีสถานะแทรนซิชัน หรือทฤษฎีอัตราสัมบูรณ์ (The activated-complex theory or the transition State theory or the absolute rate theory) กล่าวถึงการเข้ารวมกันของตัวทำปฏิกิริยาเกิดเป็นสารที่เรียกว่าสารเชิงซ้อนกัมมันต์ (activated Complex) ซึ่งมีพลังงานสูงกว่าตัวทำปฏิกิริยามาก แล้วจึงเปลี่ยนเป็นผลิตภัณฑ์ต่อไป

2.4 ทฤษฎีการเข้าชนกัน

(The collision theory)

โดยพิจารณาปฏิกิริยาพื้นฐานระหว่างสองโมเลกุล (bimolecular elementary reactions) ในวัฏภาคแก๊สดังนี้



ให้ P แทนผลิตภัณฑ์

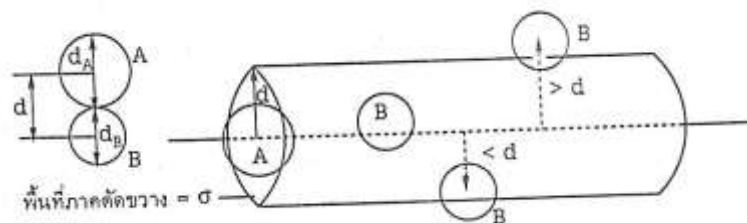
กฎอัตราคือ $V = K_2[A][B]$ (2.13)

ทฤษฎีนี้จะคำนวณค่าคงที่อัตราของปฏิกิริยาอันดับสอง (k_2) โดยอาศัยพื้นฐานของทฤษฎีจลน์ของแก๊ส ความถี่ของการเข้าชน สำหรับโมเลกุลเดี่ยว A กับทุกโมเลกุลของ B จะมีค่าดังนี้

$$Z = \sigma N_A [B] \text{ เวลา}^{-1} \quad (2.14)$$

เมื่อ N_A เป็นค่าคงที่อาโวกาโดร $[B]$ เป็นความเข้มข้นของ B ในหน่วยโมลาร์ ดังนั้น $N_A [B]$ เป็นจำนวนโมเลกุล B ต่อหน่วยปริมาตร σ เป็นพื้นที่ภาคตัดขวาง (Collision Cross-section) ดังแสดงในรูปที่ 2.7 มีค่าดังนี้

$$\sigma = \pi d^2, \quad d = \frac{1}{2}(d_A + d_B) \quad (2.15)$$



รูปที่ 2.7 โมเลกุล A วิ่งเข้าชนกับโมเลกุล B ทุกโมเลกุลที่มีจุดศูนย์กลางอยู่ใน ทรงกระบอกที่มีพื้นที่

$$\text{ภาคตัดขวางเท่ากับ } \pi d^2 \text{ เมื่อ } d = \frac{1}{2}(d_A + d_B)$$

ที่มา: ดัดแปลงจาก อรวรรณ ศิริโชติ, 2549: 220.

ความเร็วเฉลี่ยสัมพัทธ์ของโมเลกุล A และโมเลกุล ($B\bar{c}_{rel}$) มีค่าเท่ากับ

$$\bar{c}_{rel} = \left(\frac{Bk_B T}{\pi\mu} \right)^{\frac{1}{2}} \quad (2.16)$$

เมื่อ

$$\frac{1}{\mu} = \frac{1}{m_A} + \frac{1}{m_B}$$

ดังนั้นความถี่ของการเข้าชนของ โมเลกุล A กับโมเลกุล B ทั้งหมดในวัฏภาคแก๊ส จะเท่ากับผลคูณของ Z กับจำนวนโมเลกุลทั้งหมดของ A ให้ความหนาแน่นของการเข้าชน (Collision density), Z_{AB} เป็นความถี่ของการเข้าชน หาด้วยปริมาตรของภาชนะที่บรรจุ เขียนเป็นสมการดังนี้

$$Z_{AB} = zN_A[A] = \sigma\bar{c}N_A^2[A][B] \quad (2.17)$$

เนื่องจากทั้งโมเลกุล A และ B เคลื่อนที่ แทนค่า \bar{c} ด้วย \bar{c}_{rel} จากสมการ (6.74) ลงในสมการ (2.17) จะได้

$$Z_{AB} = \sigma \left(\frac{8k_B T}{\pi\mu} \right)^{\frac{1}{2}} N_A^2 [A][B] \quad (2.18)$$

Z_{AB} มีหน่วยเป็นจำนวนโมเลกุลต่อหน่วยปริมาตรต่อเวลา กฎอัตราตามทฤษฎีการเข้าชนกัน ในรูปของอัตราการเปลี่ยนแปลงความเข้มข้นของโมเลกุล A ในหน่วยโมลาร์ต่อหน่วยเวลา จะเท่ากับ ผลคูณของความหนาแน่นของการเข้าชนกับความน่าจะเป็นในการเข้าชนของโมเลกุลที่มีพลังงานมากพอ เขียนเป็นสมการดังนี้

$$-\frac{d[A]}{dt} = \frac{Z_{AB} \times f}{N_A} \quad (2.19)$$

ค่าคงที่อาโวกาโดรในสมการ (2.77) ใช้เปลี่ยนหน่วยของอัตราจากจำนวนโมเลกุลต่อหน่วยปริมาตรต่อหน่วยเวลาให้เป็นโมลาร์ต่อหน่วยปริมาตรต่อหน่วยเวลา f คือค่าเศษส่วนของการเข้าชนของโมเลกุลที่มีพลังงานจลน์เท่ากับ หรือสูงกว่าพลังงานก่อกัมมันต์ของปฏิกิริยาค่าของ f หาได้จากการกระจายแบบโบลต์ซมันน์ดังนี้

$$f = e^{-E_a/RT} \quad (2.20)$$

แทนค่า Z_{AB} จากสมการ (2.18) และค่า f จากสมการ (2.20) ลงในสมการ (2.19) จะได้

$$-\frac{d[A]}{dt} = \sigma \left(\frac{8k_B T}{\pi\mu} \right)^{\frac{1}{2}} N_A e^{-E_a/RT} [A][B] \quad (2.21)$$

เปรียบเทียบสมการ (2.16) กับสมการ (2.25) จะได้ว่า

$$k_2 = \sigma \left(\frac{8k_B T}{\pi \mu} \right)^{\frac{1}{2}} N_A e^{-E_a/RT} \quad (2.22)$$

เมื่อเปรียบเทียบสมการ (2.22) กับสมการอาร์เรเนียส จะเห็นว่าเราสามารถคำนวณอาร์เรเนียสแฟกเตอร์ (2.22) ได้จากค่าของการเข้าชนของโมเลกุลในวัฏภาคแก๊สค่า k_2 สามารถคำนวณผ่านสมการ (2.22) ได้โดยใช้ค่า σ จากการทดลอง หรือจากตารางค่ารัศมีของโมเลกุล เมื่อเปรียบเทียบค่าอาร์เรเนียสแฟกเตอร์ที่คำนวณกับค่าที่ได้จากกราฟของ $\ln k$ กับ $1/T$ ดังตารางที่ 2.2 ดังนี้

ตารางที่ 2.2 ค่าอาร์เรเนียสแฟกเตอร์ของปฏิกิริยาในวัฏภาคแก๊ส

ปฏิกิริยา	A / (Lmol ⁻¹ s ⁻¹)		E _a / (KJ mol ⁻¹)	P
	ค่าทดลอง	ค่าทางทฤษฎี		
2NOCl → 2NO + 2Cl	9.4 × 10 ⁹	5.9 × 10 ¹¹	102.0	0.16
2ClO → Cl ₂ + O ₂	6.3 × 10 ⁷	2.5 × 10 ¹¹	0.0	2.5 × 10 ⁻³
H ₂ + C ₂ H ₄ → C ₂ H ₆	1.24 × 10 ⁶	7.3 × 10 ¹¹	180.0	1.7 × 10 ⁻⁶
K + Br ₂ → KBr + Br	1.0 × 10 ¹²	2.1 × 10 ¹¹	0.0	4.8

ที่มา: ดัดแปลงจาก อรรธรณ ศิริโชติ, 2549: 221.

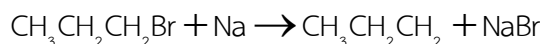
จากตารางที่ 2.2 พบว่า ค่าจากการทดลองมีค่าน้อยกว่าค่าที่คำนวณจากทฤษฎีการเข้าชน ซึ่งแสดงว่าไม่ใช่เฉพาะพลังงานการเข้าชน ที่เป็นเกณฑ์ใช้พิจารณาเท่านั้น ยังต้องคำนึงถึงเกณฑ์อย่างอื่นด้วยคือทิศทางการเข้าชนของโมเลกุลเรียกว่าแฟกเตอร์สเตอริก (Steric factor) หรือแฟกเตอร์ความน่าจะเป็น (probability factor) โดยใช้พื้นที่ภาคตัดขวาง (σ^*) แทน σ σ^* เป็นพื้นที่ภาคตัดขวางที่เกิดปฏิกิริยา (reactive Crosssection) มีค่าดังนี้

$$\sigma^* = P\sigma \quad (2.23)$$

เมื่อ P เป็นแฟกเตอร์สเตอริก แทนค่า σ ด้วย σ^* จากสมการ (2.23) ลงในสมการ (2.22) จะได้

$$k_2 = P\sigma \left(\frac{8k_B T}{\pi \mu} \right)^{\frac{1}{2}} N_A e^{-E_a/RT} \quad (2.24)$$

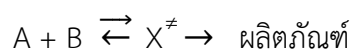
P มีค่าประมาณ 0.1 สำหรับโมเลกุลขนาดเล็กและอาจมีค่าต่ำถึง 10^{-3} – 10^{-5} สำหรับโมเลกุลขนาดใหญ่ แต่ทฤษฎีนี้ไม่สามารถทำนายค่า P และไม่สามารถหาความสัมพันธ์ระหว่างค่า P กับโครงสร้างของโมเลกุล และคุณสมบัติของสารที่เข้าทำปฏิกิริยาได้ค่าของ P จึงเท่ากับอัตราส่วนของค่าคงที่อัตราที่ได้จากการทดลองต่อค่าคงที่อัตราที่ได้จากการคำนวณ 2558 จากทฤษฎีการเข้าชนกัน ตัวอย่างเช่น ปฏิกิริยาที่เกิดขึ้นได้จะต้องมีทิศทางที่เหมาะสมในการเข้าชนกันระหว่างโมเลกุลของตัวทำปฏิกิริยาสองชนิดเช่น



Na อะตอมจะต้องวิ่งเข้าชน $\text{CH}_3\text{CH}_2\text{CH}_2\text{Br}$ ทางด้าน $-\text{CH}_2\text{Br}$ จึงจะเกิดปฏิกิริยา แต่ถ้าเข้าชนอีกด้านหนึ่งจะไม่เกิดปฏิกิริยา

2.5 ทฤษฎีสารเชิงซ้อนกัมมันต์ หรือทฤษฎีสถานะแทรนซิชัน หรือทฤษฎีอัตราสัมบูรณ์ (The activated-complex theory or the transition State theory or the absolute rate theory)

ทฤษฎีการเข้าชนกันมีข้อเสียตรงที่ไม่สามารถที่จะอธิบายเทอมของแฟกเตอร์ความน่าจะเป็น Eyring ได้พัฒนาทฤษฎีสารเชิงซ้อนกัมมันต์ (activated-complex theory) ขึ้นโดยอธิบายในระดับโมเลกุลมากขึ้นและคำนวณค่าคงที่อัตราของปฏิกิริยาได้ ใกล้เคียงค่าจริง ทฤษฎีนี้สมมติว่าการเข้าชนกันของตัวทำปฏิกิริยาในลักษณะที่เหมาะสม แล้วเกิดเป็นสารประกอบใหม่ขึ้นเรียกว่า สารเชิงซ้อนกัมมันต์ (activated Complex) ซึ่งอยู่ในสมดุลกับตัวทำปฏิกิริยา จากนั้นสารเชิงซ้อนกัมมันต์จะเกิดย้อนกลับเป็นตัวทำปฏิกิริยาหรือสลายตัวให้ผลิตภัณฑ์ต่อไป ซึ่งเขียนเป็นสมการได้ดังนี้



A, B – ตัวทำปฏิกิริยา

X^\ddagger - สารเชิงซ้อนกัมมันต์

โดยสมมติว่าตัวทำปฏิกิริยาอยู่ในสมดุลกับ X^\ddagger เราเขียนค่าคงที่สมดุล (K^\ddagger) ได้ดังนี้

$$K^\ddagger = \frac{[\text{X}^\ddagger]}{[\text{A}][\text{B}]} \quad (2.25)$$

$$\text{X}^\ddagger = [\text{A}][\text{B}]K^\ddagger \quad (2.26)$$

อัตรา = อัตราการสลายของสารเชิงซ้อนกัมมันต์ (X^\ddagger)

= ความถี่ของการสลาย (ν) × ความเข้มข้นของสารเชิงซ้อนกัมมันต์

$$= \nu[\text{X}^\ddagger] \quad (2.27)$$

แทนค่า $[X^\ddagger]$ จากสมการ (2.26) ลงในสมการ (2.27) จะได้

$$\text{อัตรา} = v[A][B]K^\ddagger = k[A][B], \quad k = vK^\ddagger \quad (2.28)$$

จากกลศาสตร์เชิงสถิติ:
$$v = \frac{k_B T}{h}$$

K_B - ค่าคงที่โบลต์ซมันน์

h - ค่าคงที่ของพลังค์

T - อุณหภูมิสัมบูรณ์

$$k = \frac{k_B T}{h} K^\ddagger \quad (2.29)$$

ค่า K^\ddagger คำนวณจากคุณสมบัติพื้นฐานทางเคมีเชิงฟิสิกส์ เช่น ความยาวพันธะ มวลอะตอม และความถี่ของการสั่น (Vibrational frequencies) ของตัวทำปฏิกิริยา เนื่องจากเราไม่สามารถวัดค่า K^\ddagger ได้โดยตรงจึงต้องหาความสัมพันธ์ระหว่าง K^\ddagger กับคุณสมบัติทางอุณหพลศาสตร์ที่สามารถทดลองหาค่าได้ดังนี้

$$\Delta G^\circ = -RT \ln K^\ddagger \quad (2.30)$$

$$K^\ddagger = e^{\Delta G^\circ / RT} \quad (2.31)$$

แทนค่า K^\ddagger จากสมการ (2.31) ลงในสมการ (2.29) จะได้

$$k = \frac{k_B T}{h} e^{\Delta G^\circ / RT} \quad (2.32)$$

ΔG° พลังงานอิสระของการก่อกัมมันต์ที่สภาวะมาตรฐาน (standard free energy of activation) ส่วน $\frac{k_B T}{h}$ ไม่ขึ้นกับ A และ B ดังนั้นอัตราจะถูกกำหนดโดย ΔG°

$$\Delta G^\circ = \Delta H^\circ - T\Delta S^\circ \quad (2.33)$$

แทนค่า ΔG° จากสมการ (2.33) ลงในสมการ (2.32) จะได้

$$k = \frac{k_B T}{h} e^{\Delta S^\circ / R - \Delta H^\circ / RT} \quad (2.34)$$

ΔS° คือเอนโทรปีของการก่อกัมมันต์ (entropy of activation)

เอนทัลปีของการก่อกัมมันต์ (enthalpy of activation) สมการ (2.34) เป็นสมการทางอุณหพลศาสตร์ของทฤษฎีสารเชิงซ้อนกัมมันต์ จากพื้นฐานทางอุณหพลศาสตร์ ค่าเอนทัลปีของการก่อกัมมันต์มีความสัมพันธ์กับพลังงานก่อกัมมันต์ดังนี้

$$\Delta H^\circ = E_a - RT \quad (\text{สำหรับของแข็งและของเหลว}) \quad (2.35)$$

$$\Delta H^\ddagger = E_a + (\Delta n^\ddagger - 1)RT \quad (\text{สำหรับแก๊สสมบูรณ์แบบ}) \quad (2.36)$$

Δn^\ddagger คือการเปลี่ยนแปลงของจำนวนโมลที่ตัวทำปฏิกิริยาทุกชนิดเกิดเป็นสารเชิงซ้อนกัมมันต์ แทนค่า ΔH^\ddagger จากสมการ (2.35) ลงในสมการ (2.34) ดังนี้

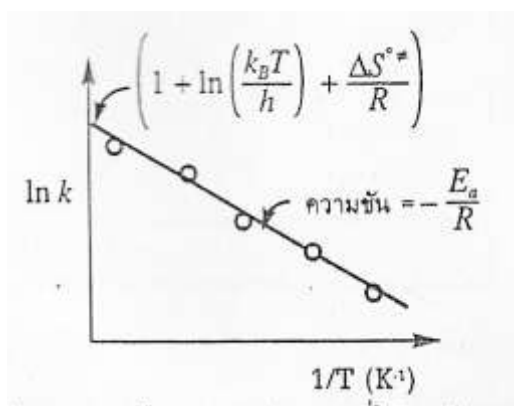
$$k = \frac{k_B T}{h} e^{\Delta S^\ddagger/R} e^{-(E_a - RT)/RT} \quad (2.37)$$

$$\therefore k = \frac{k_B T}{h} e^{\Delta S^\ddagger/R} e^{-(E_a - RT)/RT} \quad (\text{สำหรับปฏิกิริยาของแข็งหรือของเหลว}) \quad (2.38)$$

เมื่อทราบค่า E_a ของปฏิกิริยาก็สามารถหาค่า ΔH^\ddagger ได้โดยการเขียนกราฟจากลอการิทึมธรรมชาติของสมการ (2.38) ดังนี้

$$k = 1 \left(+ \ln \left(\frac{k_B T}{h} \right) + \frac{\Delta S^\ddagger}{R} \right) - \frac{E_a}{R} \frac{1}{T} \quad (2.39)$$

ค่าของ ΔS^\ddagger สำหรับปฏิกิริยาของของแข็งหรือของเหลว หาได้จากจุดตัดของกราฟของ $\ln k$ กับ $\frac{1}{T}$ ดังรูป



รูปที่ 2.8 กราฟของ $\ln k$ กับ $\frac{1}{T}$ เป็นกราฟเส้นตรงที่ใช้หาค่า ΔS^\ddagger ของปฏิกิริยาของแข็งหรือของเหลว

ที่มา: ดัดแปลงจาก อรวรรณ ศิริโชติ, 2549: 223.

แทนค่า จากสมการ (2.36) ลงในสมการ (2.34) จะได้

$$k = \frac{k_B T}{h} e^{\Delta S^\ddagger/R} e^{-(\Delta n^\ddagger - 1)E_a/RT} \quad (\text{สำหรับปฏิกิริยาแก๊ส}) \quad (2.40)$$

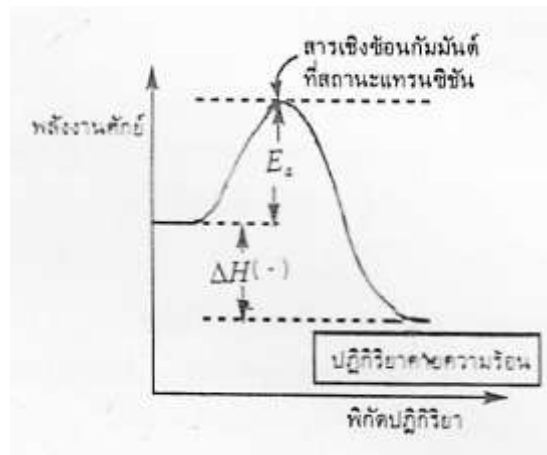
เปรียบเทียบค่าอาร์เรเนียสแฟกเตอร์ กับสมการ (2.32) และสมการ (2.34)

$$A = PZ = \frac{k_B T}{h} e^{\Delta S^\ddagger/R} = \frac{k_B T}{h} e^{\Delta S^\ddagger/R - (\Delta n^\ddagger - 1)} \quad (2.41)$$

(ของแข็งหรือของเหลว)

(แก๊ส)

สมการ (2.41) เป็นการนำทฤษฎีคำนวณค่าอาร์เรเนียสแฟกเตอร์ (A) ค่าแฟกเตอร์ของความน่าจะเป็น (P) จะเป็นฟังก์ชันของเอนโทรปีของการก่อกัมมันต์ (ΔS^\ddagger) ส่วน $\frac{k_B T}{h}$ เป็นค่าคงที่แต่ละอุณหภูมิ สำหรับแผนภาพพลังงานศักย์ (potential energy diagrams) ของการเกิดปฏิกิริยาทั่วไปแบบคายความร้อน หรือดูดกลืนความร้อนแสดงในรูป 2.9 และ รูป 2.10



รูปที่ 2.9 แผนภาพพลังงานศักย์สำหรับปฏิกิริยาคายความร้อน

ที่มา: ดัดแปลงจาก อรวรรณ ศิริโชติ, 2549: 224.

จากแผนภาพพลังงานศักย์สารเชิงซ้อนกัมมันต์จะมีพลังงานสูงสุดเรียกสถานะที่จุดนี้ว่า **สถานะแทรนซิชัน** (Transition state)

สรุป

ค่าคงที่อัตราเปลี่ยนแปลงไปอย่างไรเมื่ออุณหภูมิและพลังงานก่อกัมมันต์ (ใช้ตัวเร่งปฏิกิริยา) เปลี่ยนไป จากสมการนี้ไม่ได้เช่นกัน แต่มีสมการอยู่สมการหนึ่งที่สามารถบอกความสัมพันธ์ของสามตัวแปรนี้ได้ นั่นคือ สมการอาร์เรเนียส (Arrhenius equation)

จากการสังเกต เราจะเห็นได้ว่า ค่าคงที่อัตราของปฏิกิริยาส่วนใหญ่จะเป็นไปตาม สมการของอาร์เรเนียส $k = A e^{-E_a/RT}$ ถ้าเราเขียนสมการให้อยู่ในรูปลอการิทึมธรรมชาติ จะได้ว่า

$$\ln k = \ln A - \frac{E_a}{RT} \quad \text{หรือ} \quad \ln k = \ln A - \frac{E_a}{RT}$$

$1/T$ จะได้กราฟเป็นเส้นตรง และมีค่าความชันเท่ากับ $-E_a/R$ และมีจุดตัดแกน $\ln k$ ที่จุด $\ln k = \ln A$

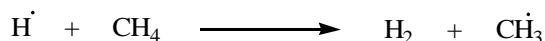
พลังงานกระตุ้น (activation energy) คือ พลังงานน้อยที่สุดซึ่งอนุภาคของสารจะต้องได้รับเพิ่ม เพื่อทำให้เกิดปฏิกิริยาเคมีได้ในการเกิดปฏิกิริยาเคมีจำเป็นต้องใช้พลังงานกระตุ้น เนื่องจากพลังงานดังกล่าวจะทำให้อนุภาคของสารที่เข้าทำปฏิกิริยามีการเปลี่ยนแปลงดังนี้ อนุภาคของสารจะเคลื่อนที่เร็วขึ้น เนื่องจากได้รับพลังงานเพิ่มขึ้น โอกาสที่อนุภาคชนกันในตำแหน่งที่เหมาะสมจะมีมากขึ้น ทำให้มีพลังงานเพียงพอที่จะทำให้เกิดปฏิกิริยาเคมีได้ทุกครั้งที่มีการชนกันของอนุภาคของสารตั้งต้น ไม่จำเป็นต้องเกิดปฏิกิริยาเสมอไป ทั้งนี้ขึ้นอยู่กับทิศทางที่ชน ตำแหน่งที่ชน ความแรงที่ชน หากชนในทิศทางและตำแหน่งที่เหมาะสมหรือชนกันด้วยพลังงานไม่สูงพอ ผลของการชนกันย่อมไม่เกิดสารใหม่ (ไม่เกิดปฏิกิริยา) ปฏิกิริยาเคมีที่ต้องใช้พลังงานกระตุ้นมากเป็นปฏิกิริยาที่เกิดขึ้นได้ยาก แต่ปฏิกิริยาเคมีที่ใช้พลังงานกระตุ้นน้อยเป็นปฏิกิริยาที่เกิดขึ้นได้ง่าย

Potential-energy Surfaces เป็นการศึกษาพลังงานกระตุ้นของปฏิกิริยาเคมี เราจะใช้วิธีการพิจารณา potential energy surfaces ซึ่งวิธีการนี้เรากระทำโดยการเขียนกราฟระหว่างพลังงานกับระยะห่างระหว่างอะตอม (interatomic distance) ในแอตติเวตคคอมเพล็กซ์ ถ้าในปฏิกิริยามีเพียงสองอะตอม กราฟระหว่างพลังงานศักย์ (potential energy) กับระยะห่างระหว่างอะตอม จะเป็นสองมิติ และกราฟที่ได้ก็จะเป็น potential energy curve ของอะตอมโมเลกุลคู่ (diatomic molecule) ในกรณีที่มีอะตอมมากกว่า 2 ขึ้นไป เป็น polyatomic molecule พิจารณาในกรณีมี 3 อะตอมการจะสร้าง potential energy surfaces โดยการเขียนกราฟระหว่างพลังงานกับระยะห่างระหว่างอะตอม ซึ่งอาจจะมีระยะ A-B, B-C และ A-C.

ทฤษฎีการเข้าชนกัน (The Collision theory) เน้นว่าการเกิดปฏิกิริยาเนื่องจาก การเข้าชนกันของโมเลกุลที่มีพลังงานสูง และอัตราปฏิกิริยาจะขึ้นอยู่กับความถี่ของการ เข้าชนกัน ส่วนทฤษฎีสารเชิงซ้อนกัมมันต์ หรือทฤษฎีสถานะแทรนซิชัน หรือทฤษฎีอัตราสมบูรณ์ (The activated-complex theory or the transition State theory or the absolute rate theory) กล่าวถึงการเข้ารวมกันของตัวทำปฏิกิริยาเกิดเป็น สารที่เรียกว่า สารเชิงซ้อนกัมมันต์ (activated Complex) ซึ่งมีพลังงานสูงกว่าตัวทำปฏิกิริยามาก แล้วจึงเปลี่ยนเป็นผลิตภัณฑ์ต่อไป

แบบฝึกหัด

1. จงคำนวณหาค่าเอนโทรปีของการกระตุ้น ΔS^\ddagger ของปฏิกิริยา



กำหนดให้ค่า preexponential factor เท่ากับ $10^{13} \text{ cm}^3 \cdot \text{s}^{-1} \cdot \text{mol}^{-1}$ ที่ 500 K

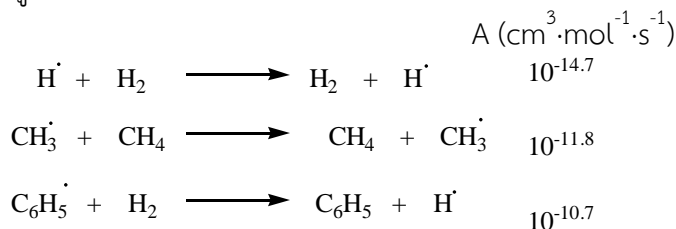
2. จงใช้ทฤษฎีอัตราสมบูรณ์คำนวณค่า preexponential factor สำหรับค่าคงที่อัตราของปฏิกิริยา



ที่ 500 K โดยสมมติว่าแอคติเเตดคอมเพลกซ์เป็นเส้นตรง และอะตอมอยู่ห่างกัน 1.8×10^{-10} เมตร และหาค่า partition function ของการ vibrate เท่ากับ 1

3. ในการทดลองหาค่าคงที่อัตราของปฏิกิริยา $2\text{HI} \longrightarrow \text{H}_2 + \text{I}_2$ พบว่าการทดลองที่ 556 K ได้ค่าคงที่อัตรา $3.52 \times 10^{-7} \text{ L} \cdot \text{mol}^{-1} \cdot \text{s}^{-1}$ ถ้าเปลี่ยนเป็นที่ 781 K ได้ค่าคงที่อัตรา $3.95 \times 10^{-7} \text{ L} \cdot \text{mol}^{-1} \cdot \text{s}^{-1}$ จงคำนวณหาพลังงานกระตุ้นและค่าแฟคเตอร์แห่งความถี่ของปฏิกิริยานี้

4. จงคำนวณหาค่า ΔS^\ddagger จาก preexponential factor ของปฏิกิริยาสองโมเลกุลข้างล่างนี้ที่อุณหภูมิห้อง



5. ในปฏิกิริยาอันดับหนึ่งของการสลายตัวของแก๊สโพพิลีนออกไซด์ $\Delta H^\ddagger = 56.9 \text{ kcal} \cdot \text{mol}^{-1}$ และ $\Delta S^\ddagger = 6 \text{ cal} \cdot \text{K}^{-1} \cdot \text{mol}^{-1}$ ที่ 285°C จงคำนวณ

- 1) แฟคเตอร์แห่งความถี่ A
- 2) ค่าคงที่อัตราที่ 285°C

6. ค่าคงที่อัตราของปฏิกิริยาอันดับหนึ่งในการสลายตัวของ $\text{C}_2\text{H}_5\text{Br}(\text{g})$ มีค่าเป็น $(3.8 \times 10^{14} \cdot \text{s}^{-1}) e^{-55,000/RT}$ โดยที่ค่าพลังงานกระตุ้นมีหน่วยเป็น $\text{cal} \cdot \text{mol}^{-1}$ ที่ 500°C จงคำนวณ

- 1) ΔH^\ddagger
- 2) ΔS^\ddagger

7. ปฏิกิริยาไฮโดรไลซิสของ $[\text{CH}_2]_6 \text{CH}_3\text{Cl}$ ในเอทานอล เป็นปฏิกิริยาอันดับหนึ่ง ค่าคงที่อัตรา ทำการทดลองโดย H.C. Brown และ M. Borkowski ได้ผลตามตาราง

T (K)	0	25	35	45
k (s ⁻¹)	1.06 × 10 ⁻⁵	3.19 × 10 ⁻⁴	9.86 × 10 ⁻⁴	2.92 × 10 ⁻³

- 1) จงเขียนกราฟระหว่าง $\log k$ กับ $1/t$
 - 2) จงคำนวณหาพลังงานกระตุ้น
 - 3) จงคำนวณ preexponential factor
8. จงคำนวณค่า ΔS^\ddagger และ ΔH^\ddagger สำหรับปฏิกิริยาการสลายตัวของ N_2O_5 ที่ความดันสูง ปฏิกิริยานี้เป็นอันดับหนึ่ง มีค่าคงที่อัตราเท่ากับ $3.35 \times 10^{-5} \text{ sec}^{-1}$ ที่ 25°C และ 0.048 sec^{-1} ที่ 65°C
9. ค่าคงที่อัตราของปฏิกิริยาอันดับสอง $\text{CH}_3\text{CHO} + \text{I}_2 \longrightarrow \text{CH}_4 + \text{CO} + \text{I}_2$ เปลี่ยนไปตามอุณหภูมิดังตาราง

T °C	630	645	660	675	695
k (dm ³ ·mol ⁻¹ ·sec ⁻¹)	12	22	41	76	140

- จงคำนวณหาค่า A และพลังงานกระตุ้น และใช้ทฤษฎีอัตราสัมบูรณ์ คำนวณหาค่า ΔS^\ddagger
10. ค่าคงที่อัตราของปฏิกิริยาโมเลกุลเดี่ยว เป็น $4.14 \times 10^{-4} \text{ s}^{-1}$ ที่ 404 K ถ้ากำหนดให้พลังงานกระตุ้นเป็น $108 \text{ k J}\cdot\text{mol}^{-1}$ คำนวณหาเอนโทรปีของการกระตุ้นที่อุณหภูมินี้

เอกสารอ้างอิง

- นภดล ไชยคา. สุดจิต สงวนเรื่องและคณะ. (2548). **เคมีทั่วไปเล่ม 3**. กรุงเทพฯ ฯ: วี.เจ.พรินต์ติ้ง.
- ปรีชา พหลเทพ. (2457). **เคมีฟิสิกส์ 2**. ภาควิชาเคมี คณะวิทยาศาสตร์ มหาวิทยาลัยรามคำแหง.
- สุดจิต สงวนเรื่องและคณะ. (2548). **เคมีทั่วไปเล่ม 3**. กรุงเทพฯ ฯ: วี.เจ.พรินต์ติ้ง.
- สถาบันส่งเสริมการสอนวิทยาศาสตร์และเทคโนโลยี. (2547). **คู่มือครูสาระการเรียนรู้พื้นฐาน และเพิ่มเติม เคมีเล่ม 3**. กรุงเทพฯ ฯ: โรงพิมพ์คุรุสภา.
- สถาบันส่งเสริมการสอนวิทยาศาสตร์และเทคโนโลยี. (2547). **เคมีเล่ม 3**. กรุงเทพฯ ฯ: โรงพิมพ์คุรุสภา.
- อรรวรรณ ศิริโชติ. (2549). **เคมีเชิงฟิสิกส์เบื้องต้น**. สงขลา: ภาควิชาเคมี คณะวิทยาศาสตร์ มหาวิทยาลัยสงขลานครินทร์.
- Brady, J.E. (1990)., **General Chemistry**. John Wiley and Sons, New York .
- Brady J.E. and Holum J.R., (1993). **Chemistry : The Study of Matter and Its Changes**, John Wiley and Sons, New York.
- Siberberg, M. S. (2003). **Chemistry**. United State of America: Mc Graw-Hill Companies.
- Steven S. Z. (1986). **Chemistry**. United State of America: D.C.Health and Company.
- Goldberg D.E., (1989). **Schaum' s 3000 Solved Problems in Chemistry**, Mc Graw-Hill.